

文章编号: 1004-0609(2005)08-1214-05

# 磁控溅射制备 $\text{In}_2\text{O}_3\text{-SnO}_2$ 薄膜与分析<sup>①</sup>

李世涛, 乔学亮, 陈建国

(华中科技大学 模具技术国家重点实验室, 武汉 430074)

**摘要:** 选择  $\text{In}_2\text{O}_3$  与  $\text{SnO}_2$  质量比 1:1 的靶材为溅射源, 采用磁控溅射法沉积了 ITO 薄膜, 讨论了溅射氩气压强、氧流量、基体温度对薄膜透射率和方阻的影响, 深入分析了其机理。研究结果表明: 溅射时采用低 Ar 压强更有利于降低 ITO 薄膜的电阻率, 并确定最佳氩气压强为 0.2 Pa, 厚度为 120 nm 的 ITO 薄膜在可见光区的透过率可达到 90%; 氧流量能明显改变薄膜的性能, 随着氧流量从 0 增加 10 L/min(标准状态下, 下同), 载流子浓度( $N$ )则由  $3.2 \times 10^{20}$  降低到  $1.2 \times 10^{19} / \text{cm}^3$ ,  $N$  值的变化与 ITO 薄膜光学禁带宽度( $E_g$ )的变化密切相关。振子模型与实验结果吻合, 并确定了 ITO 薄膜的等离子波长( $\lambda_p = 1510 \text{ nm}$ )。薄膜随方阻减小表现出明显的“B-M”效应。通过线性外推, 建立了直接跃迁的( $aE$ )<sup>2</sup> 模型, 并确定了薄膜的  $E_g$  值(3.5~3.86 eV)。

**关键词:** ITO 薄膜; 磁控溅射; 氧流量; “B-M”效应

中图分类号: TN 304.0255; O 484.4

文献标识码: A

## Preparation and analysis of $\text{In}_2\text{O}_3\text{-SnO}_2$ thin films deposited by magnetic sputtering

LI Shitao, QIAO Xueliang, CHEN Jian-guo

(State Key Laboratory of Die and Mould Technology,  
Huazhong University of Science and Technology, Wuhan 430074, China)

**Abstract:** The ITO thin films were prepared by radio frequency magnetic sputtering using a ceramic target with mass ratio of  $\text{In}_2\text{O}_3$  to  $\text{SnO}_2$  1:1. The experiment parameters such as Ar gas pressure ( $p(\text{Ar})$ ), oxygen flow rate ( $f(\text{O}_2)$ ) and substrate temperature ( $t_s$ ) all have important influence on the transmittance and square resistivity of the thin films. The semiconductor mechanisms of ITO films were studied. The results show that lower  $p(\text{Ar})$  can reduce  $R_s$ , the optimal  $p(\text{Ar})$  of about 0.2 Pa was determined. The transmittance of 120 nm thick ITO thin films in visible light range is about 90%. The ITO properties can be changed obviously by  $f(\text{O}_2)$ , the carrier concentration decrease from  $3.2 \times 10^{20}$  to  $1.2 \times 10^{19} / \text{cm}^3$  when  $f(\text{O}_2)$  increases from 0 to 10 L/min (standard state), which is related to optical forbidden band  $E_g$ . And the oscillator model is accorded with the experimental results, the plasma wavelength of ITO films is up to 1510 nm. The thin films shows obvious “Burstein-Moss” effect due to a decrease in  $R_s$ . The direct transition model of ( $aE$ )<sup>2</sup> versus photon energy  $E_g$  was established and a band gap energy  $E_g$  was obtained by linear extrapolation.

**Key words:** ITO thin films; magnetic sputtering; oxygen flow rate; “Burstein-Moss” effect

ITO 膜的禁带宽度为 3.75~4.0 eV<sup>[1-3]</sup>, 是一种在可见光区( $\lambda = 400\text{~}780 \text{ nm}$ )透光性较好的材料, 人们发现 ITO 膜存在“蓝移”现象, 一般随着掺杂比增大, 光吸收边界的“B-M”现象<sup>[4]</sup>越明显, 表

现了紫外吸收、可见高透过、红外高反射的性质, 其反射主要是由于薄膜中的载流子引起的, 而吸收是自由电子引起的。ITO 薄膜中的载流子主要有两种机制<sup>[5, 6]</sup>: 一种是来自薄膜中的氧空位, 另一种

① 基金项目: 华中科技大学优秀博士生论文基金资助项目(2004-39); 国防预研跨行业基金资助项目(51410020401JW0504)

收稿日期: 2005-01-27; 修订日期: 2005-05-05

作者简介: 李世涛(1978-), 男, 博士研究生。

通讯作者: 乔学亮, 教授; 电话: 027-87541540; E-mail: xlqiao@public.wh.hb.cn

是来自薄膜中  $\text{Sn}^{4+}$  对  $\text{In}^{3+}$  的替代从而产生了一个电子的贡献。将宽禁带的  $\text{In}_2\text{O}_3$  通过掺锡和形成氧空位转变为高导电 ITO 薄膜具有广泛的应用<sup>[7, 8]</sup>, 例如作为透明电极、热反射镜、智能窗等。通常认为 In 与 Sn 质量比为 9: 1 的 ITO 薄膜综合性能最好, 但是有些研究者<sup>[9]</sup> 报道了含  $\text{SnO}_2 > 45\%$  (质量分数) 的薄膜, 并表现出良好的光电性能。本文作者选择  $\text{In}_2\text{O}_3$ 、 $\text{SnO}_2$  质量比为 1: 1 的靶材进行溅射 (在其他论文中本文作者将详细报道氧流量对 ITO 薄膜的影响及靶材和薄膜成分的一致性), 探讨了制备工艺对薄膜光学性能的影响。

## 1 实验

本实验采用平面溅射方式, 所用设备为国产 JPC-450 磁控溅射仪。基片与圆形靶表面平行, 靶基距为 65 mm, 功率为 50 W, 负偏压为 -120 V, 基片温度为室温~300 °C, 氩气压强为 0.2 Pa。用纯度为 99.99% 的氧化粉末  $\text{In}_2\text{O}_3$ 、 $\text{SnO}_2$  按照质量比为 1: 1 的比例进行充分混合, 在 900 °C 高温下热压烧结(HIP)成  $d = 86 \text{ mm} \times 8 \text{ mm}$  的靶材, 压力为 150~190 MPa, 靶材相对密度为 97.49% (绝对密度为 7.02 kg/cm<sup>3</sup>)。基片为普通钠钙硅酸盐玻璃、石英片(24 mm × 45 mm × 1.7 mm)和单面抛光的单晶硅片, 基体在镀膜之前超声波清洗干净。用椭偏仪测量薄膜的复折射率(以单晶 Si 为衬底)椭偏仪的测量结果是通过改变入射光的波长和角度得到数据, 再用计算机和数据处理软件来计算。薄膜厚度用  $\alpha$ Step 台阶仪(精度为 0.5 nm)测量。薄膜方阻用标准四探针系统测试, 透光率用 UV-2550 型紫外分光光度计(Shimadzu, 日本)测试。

## 2 结果与分析

### 2.1 溅射气体对薄膜性能的影响

Ar 压强与薄膜沉积速率( $Q$ )的关系可表示为<sup>[10]</sup>

$$Q = CIS \quad (1)$$

式中  $Q$  为从靶材上溅射出来的物质在单位时间内沉积到基片上的薄膜厚度;  $C$  为与溅射装置有关的特征常数;  $I$  为离子流;  $S$  为溅射率。式(1)表明, 对于一定的溅射装置( $C$  值一定), 提高沉积速率的有效方法就是提高离子电流( $I$ )。但是在不增大溅射电压的条件下, 增大  $I$  就必须提高气体压强

( $p(\text{Ar})$ ), 但是当气体压强增大到一定值时, 溅射率开始明显下降从而使沉积速率减小,  $Q$  与( $p(\text{Ar})$ )关系如图 1 所示。研究发现,  $p(\text{Ar})$  增大使薄膜电阻率也增大, 这是因为溅射出来的靶材粒子被 Ar 散射的几率增大而没有足够的能量在基体上结晶、迁移, 所以薄膜缺陷和晶界增加, 晶界对电子散射较强使得薄膜的电阻率增加。通过对所制备薄膜的载流子浓度( $N$ )和霍尔迁移率( $\mu$ )的测量, 发现随着溅射压强的增加,  $N$  由  $1.2 \times 10^{20}$  减少到  $8 \times 10^{19}/\text{cm}^3$ ,  $\mu$  由 10 减小到  $6 \text{ cm}/(\text{V} \cdot \text{s})$ , 这一结论与文献[3]的结论一致。为了保证溅射薄膜的质量和提高薄膜沉积速率, 应当尽量降低工作气体压强和提高溅射率, 故选择  $p(\text{Ar}) = 0.2 \text{ Pa}$ 。

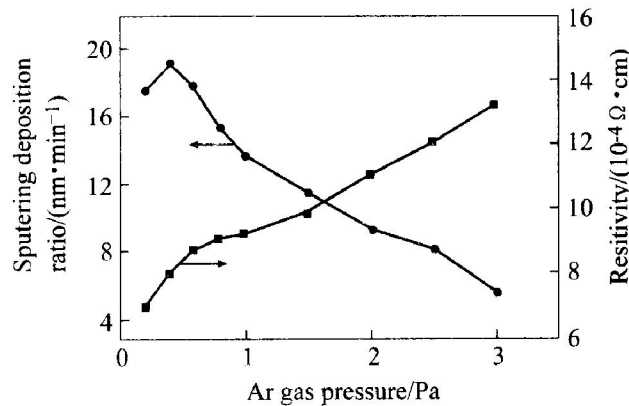


图 1  $p(\text{Ar})$  对溅射速率和电阻率的影响

Fig. 1 Effects of  $p(\text{Ar})$  on deposition ratio and resistivity of ITO films

图 2 所示为薄膜的折射率( $n$ )和消光系数( $k$ )与氧流量的关系, 图 2 中样品的厚度均由沉积速率和时间控制在 60 nm。折射率在氧流量  $f(\text{O}_2)$  2 L/min 时最低, 约为 2.005, 然后即逐渐上升,  $f(\text{O}_2)$  为 6 L/min 时折射率最大( $n = 2.082$ )。ITO 薄膜的消光系数在可见光范围内很小,  $k < 0.1$ , 随着  $f(\text{O}_2)$  的增加其值逐渐减小。载流子浓度测试表明载流子浓度随着  $f(\text{O}_2)$  增加而由  $3.2 \times 10^{20}$  降低到  $1.2 \times 10^{19}/\text{cm}^3$ , 因为  $f(\text{O}_2)$  改变了薄膜中氧空位的浓度和薄膜成分。根据文献[11, 12]提出的离散模型和 Drude 模型, 可以表示自由载流子与光学常数的关系, 但是对于 ITO 薄膜而言, 其等离子频率( $\omega_p$ )小于可见光频率, 因此只能作为定性的分析和初步近似。因此本实验文献[12]的模型并对其进行修正后, 根据固体物理的基本理论提出了振子模型(Oscillator model), 可以表示为

$$\epsilon(\omega) = \epsilon_\infty + i\epsilon_0 = (n + ik)^2$$

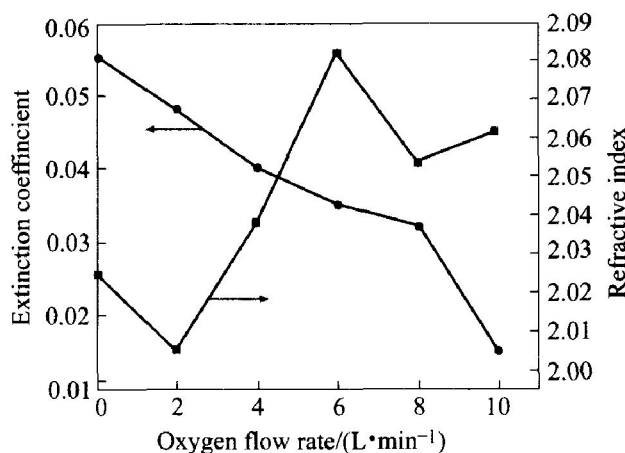


图 2 复折射率与氧流量的关系

**Fig. 2** Effects of oxygen flow rate on refractive indexes of ITO films

$$= \alpha \epsilon_{\infty} - \frac{\epsilon_p^2}{\epsilon_p^2 + i \omega' \tau} + \frac{s_0}{\omega_0^2 - \omega^2 - i \gamma \omega} \quad (2)$$

式中  $\epsilon_{\infty}$  为高频时的介电常数;  $\omega_p$  为等离子体的共振频率;  $\tau$  为豫驰时间;  $s_0$  为振子的强度;  $\omega_0$  为振子的共振频率;  $\gamma$  为振子的阻尼系数;  $\alpha$  为修正系数(约 1.2~13)。由式(2)可以看出, 载流子浓度的改变引起( $\omega_p$ )的变化而导致薄膜  $n$  和  $k$  值的改变。在 0.2 Pa 溅射氩气压强、50 WRF 溅射功率、2 L/min 的氧流量下, 沉积了 120 nm 的 ITO 薄膜, 利用分光光度计测试其透射率和反射率, 如图 3 中点划线所示, 由 A 点得到  $\lambda_p = 1510$  nm(透射率和反射率曲线的交点就是  $\lambda_p$ )。常数  $\epsilon_{\infty}$ 、 $\tau$ 、 $s_0$ 、 $\omega_0$ 、 $\gamma$  见文献[3], 用式(2)计算得到的透射率和反射率曲线如图 3 中虚线所示, 由 B 点得到  $\lambda_p = 1570$  nm。

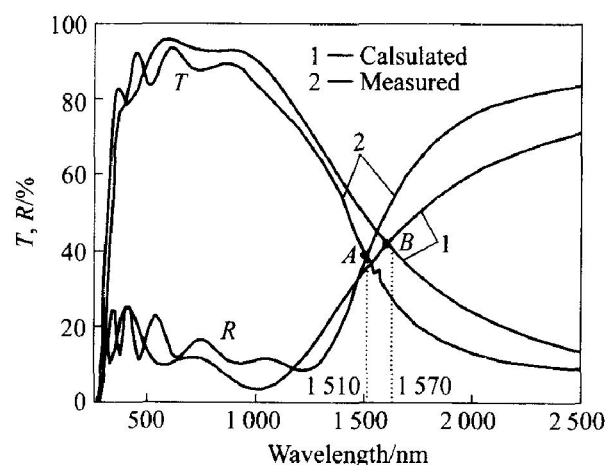


图 3 120 nm 厚的 ITO 薄膜的透射率和反射率曲线

**Fig. 3** Transmittance( $T$ ) and reflectance( $R$ ) of 120 nm thick ITO film deposited on glass substrate

由此可见, 振子模型计算的结果与实验结果十分接近, 透射率和反射率曲线形状相似, 计算得到的曲线略高于实际测试的曲线。所以式(2)很好地拟合了 ITO 薄膜的透射率和反射率曲线。

## 2.2 薄膜方阻与基体温度和透射率的关系

图 4 所示为薄膜的方阻、基体温度与透射率的关系, 薄膜厚度为 240 nm。可以看出, 提高基体温度可以提高薄膜的透射率, 降低其方阻, 这是由于基体温度升高, 更满足薄膜生长的热力学条件而结晶充分, 缺陷减少。随着薄膜方阻的减小, 一方面薄膜的透射率减小; 另一方面薄膜的吸收界限随着方阻的减小开始向 UV 区域移动, 即薄膜发生了蓝移现象, 这主要是由于“Burstein-Moss effect”(简称“B-M”效应)<sup>[4]</sup>引起的。由“B-M”效应引起的宽化能带可以表示为

$$\Delta E_g^{BM} = \frac{h^2}{2} \left( \frac{1}{m_v^*} + \frac{1}{m_c^*} \right) (3\pi^2 N_e)^{2/3} \quad (3)$$

式中  $m_v^*$ 、 $m_c^*$ 、 $N_e$  分别为价带中空穴有效质量、导带中电子的有效质量和电子浓度。ITO 薄膜在可见光区的吸收是由薄膜中的载流子浓度引起的, 所以薄膜方阻减小必然引起光吸收的增强。式(3)表明薄膜中的载流子浓度增大将导致薄膜禁带的宽化。

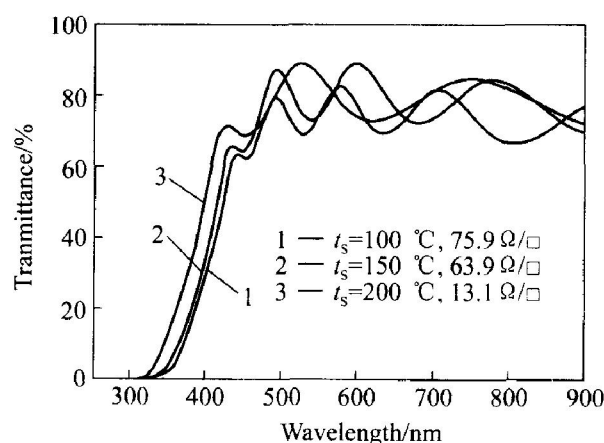


图 4 基体温度与透过率和方阻的关系

**Fig. 4** Dependence of transmission and square resistance on substrate temperature

## 2.3 ITO 薄膜能带研究

改变  $f(O_2)$ (6、8、10 L/min), 在熔融石英玻璃上沉积了 ITO 薄膜。首先测试薄膜的吸收系数  $\alpha$ , 结果如图 5 所示, 并作出  $(\alpha E)^2$  与吸收系数( $\alpha$ )的关系图( $E$  为入射光子能量), 然后进行线性外推, 图中横坐标的截距就是禁带宽度  $E_g$  的值, 如

图 6 所示。间接跃迁  $(\alpha E)^{2/3}$  外推得禁带宽度  $E_i = 2.99 \sim 3.47 \text{ eV}$ , 用直接跃迁  $(\alpha E)^2$  模型对其进行线性外推得出  $E_d = 3.5 \sim 3.86 \text{ eV}$ 。在图 5 可以看到, 随着氧流量的增加, 薄膜的  $E_g$  减小, 吸收边向长波方向偏移。为了说明上述实验结果, 根据文献 [12~14], 假设了用图 7 所示的能带图来解释。根据这种假设, 按照能带理论, 钨锡氧化物费米球中心是偏离动量空间的, 所以就存在以下两种跃迁的机制:

1) 电子为直接跃迁时, 直接光学禁带  $E_d = E_g - 4kT(m_n^*/m_r^*) + h^2(2m_r^*)^{-1}(3\pi^2 n)^{2/3}$ , 吸收系数表示为  $\alpha = A(E - E_d)^{1/2}$ 。

2) 电子为间接跃迁时, 间接光学禁带  $E_i = \varepsilon_m - \varepsilon_2 = E_g - \Delta - 4kT + h^2 2(2m^n)^{-1}(3\pi^2 n)^{2/3}$ , 吸收系数表示为

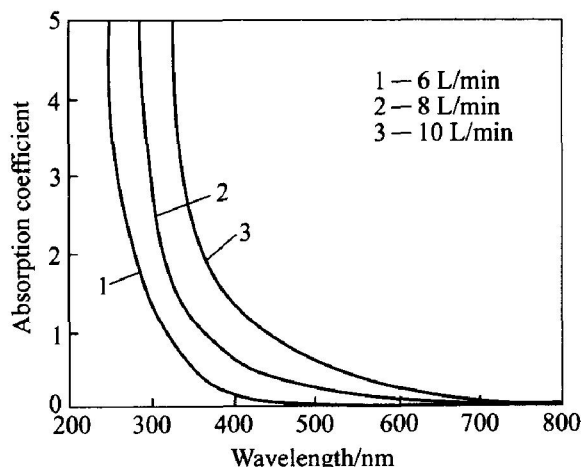


图 5 ITO 薄膜光吸收系数( $\alpha$ )与入射光波长的关系

Fig. 5 Relations between optical absorption coefficient ( $\alpha$ ) and wavelength

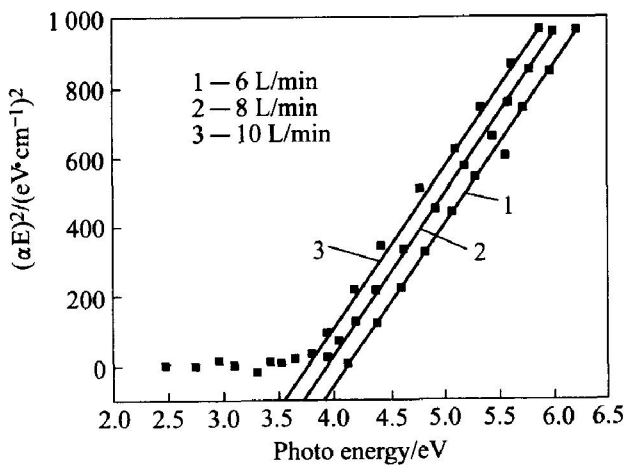


图 6  $(\alpha E)^2$  与光子能量( $E$ )的关系

Fig. 6 Relations between  $(\alpha E)^2$  and photon energy

$$\alpha = B \left( \frac{(E - E_i + E_p)^2}{\exp(E_p/kT) - 1} + \frac{(E - E_i - E_p)^2}{1 - \exp(-E_p/kT)} \right) \quad (4)$$

式中  $m_r^* = m_n^* m_p^* / (m_n^* + m_p^*)$ ,  $\Delta = 0.45 \text{ eV}$ ,  $m_n^* / m = 0.85 m_p^* / m = 0.78$ 。 $E$  为光子能量,  $E_p$  为光子的发射能量( $20 \sim 50 \text{ meV}$ )<sup>[13]</sup>,  $m_n^*$ 、 $m_p^*$  分别为电子和空穴的有效质量。

计算结果表明两种跃迁机制不是在同一能带发生的, 而是两个不同的能带发生跃迁的, 如图 7 中 1(ITO 的本征能级) 和 2(ITO 掺杂后的能级) 两个位置。直接跃迁拟合的能带与实验结果更吻合, 故制备的 ITO 薄膜是直接跃迁模型, 这和 Bashir<sup>[14]</sup>得出的结果一致, 而陈猛<sup>[15]</sup>认为  $2/3$  次方更符合线性拟合结果。由于 ITO 薄膜中复杂的原胞结构和复杂的掺杂机制(氧空位和  $\text{Sn}^{4+}$  对  $\text{In}^{3+}$  的替换) 导致对薄膜的基本性质(导电机制、能带结构等) 的认识还存在很大的差异, 所以不同的研究者得出了不同的拟合结果。改变氧流量, 采用同样的方法和线性外推, 结果发现, 氧流量增大,  $E_g$  值减小, 这主要是由薄膜中氧空位减少引起的<sup>[4, 16, 17]</sup>。光学禁带宽度和薄膜的载流子浓度有关, 这主要是因为“Burstein-Moss”效应。式(3) 表明薄膜中的载流子浓度增大将导致薄膜禁带的宽化。

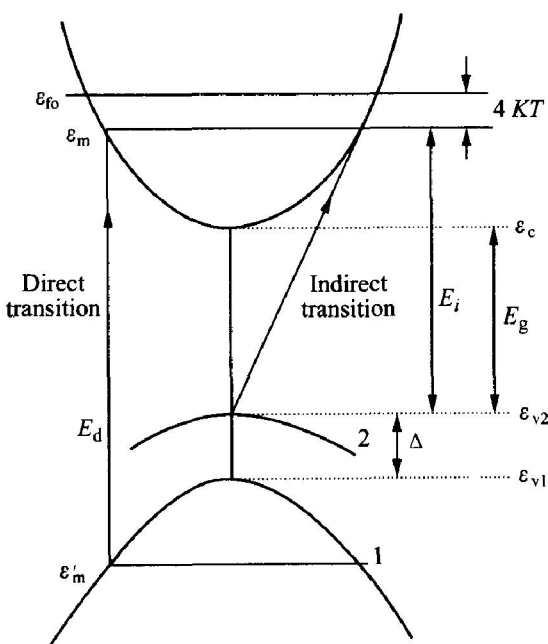


图 7 ITO 薄膜的能带结构图

Fig. 7 Diagram of proposed energy band

### 3 结论

溅射氩气压强对薄膜的沉积速率和电阻率有明显地影响, 本实验获得的最佳值为  $0.2 \text{ Pa}$ 。氧流量的变化引起薄膜中氧空位和成分的变化, 从而导致

薄膜中载流子浓度和折射率的变化,振子模型从理论上解释了ITO薄膜折射率与其等离子体共振频率的关系,且与实验结论一致。薄膜基体温度升高,薄膜的方阻降低,并表现出明显的“Burstein-Moss”效应。通过研究薄膜的光学能带,发现随着薄膜的氧流量增加,薄膜的光学跃迁能带变窄,通过线性拟合发现ITO薄膜是直接跃迁。所制备的ITO薄膜透过率为90%,方阻为 $13.1\Omega/\square$ , $E_g=3.5\sim 3.86\text{ eV}$ 。

## REFERENCES

- [1] Tahar B H R, Ban T, Ohya Y, et al. Tin doped indium oxide thin films: Electrical properties[J]. *J Appl Phys*, 1998, 83(5): 2631-2637.
- [2] Zhang D H, Ma H L. Room-temperature deposition of indium tin oxide thin films with plasma ion-assisted evaporation[J]. *J Appl Phys*, 1996, A62: 487-491.
- [3] Laux S, Kaiser N, Zöller A, et al. Room-temperature deposition of indium tin oxide thin films with plasma ion-assisted evaporation[J]. *Thin Solid Films*, 1998, 335: 1-5.
- [4] Kim H, Horwitz J S, Kushto G, et al. Effect of film thickness on the properties of indium tin oxide films [J]. *J Appl Phys*, 2000, 88(10): 6023-6025.
- [5] Takaki S, Matsumoto K, Suzuki K. Properties of highly conducting ITO films prepared by ion plating [J]. *Applied Surface Science*, 1988(33/34): 919-925.
- [6] ZENG Ming-gang, CHEN Song-yan, CHEN Mou-zhi, et al. The effects of the microstructure on the optical and electrical quality of indium tin oxide thin films[J]. *Journal of Xiamen University (Nature Science)*, 2004, 43(4): 498.
- [7] Cairns D R, White R P II, Sparacin D K, et al. Strain-dependent electrical resistance of tin-doped indium oxide on polymer substrates[J]. *Applied Physics Letters*, 2000, 76(11): 1426-1431.
- [8] Swint A L, Bohn P W. Effect of acidic and basic surface dipoles on the depletion layer of indium tin oxide as measured by infrared plane conductance[J]. *Applied Physics Letters*, 2004, 84(1): 61-63.
- [9] Minami T, Takeda Y, Takata S, et al. Preparation of transparent conducting  $\text{In}_4\text{Sn}_3\text{O}_{12}$  thin films by DC magnetron sputtering[J]. *Thin Solid Films*, 1997, 308-309: 13-18.
- [10] 唐伟忠. 膜材料的制备原理、工艺和应用[M]. 北京: 冶金工业出版社, 1998. 49-61.
- TANG Weizhong. Preparation Principle, Technology and Application of Film Materials[M]. Beijing: Metallurgy Industry Press, 1998. 49-61.
- [11] Born M. Optics[M]. Berlin: Springer, 1981. 421.
- [12] Hamberg I, Granqvist C G. Evaporated Sn-doped  $\text{In}_2\text{O}_3$  films: basic optical properties and applications to energy-efficient windows[J]. *Solar Energy Materials*, 1986, 14: 241.
- [13] Rakhshani A E, Mkdisi Y, Ramazaniyan H A. Electronic and optical properties of fluorine-doped tin oxide films[J]. *J Appl Phys*, 1998, 83(2): 1056.
- [14] Bashar S A. Study of Indium Tin Oxide (ITO) for Novel Optoelectronic Devices[D]. London: University of London, 1998.
- [15] 陈猛, 裴志亮, 白雪冬, 等. ITO薄膜的X射线光电子电镜研究[J]. 无机材料学报, 2000, 15(1): 191-194.
- CHEN Meng, PEI Zhiliang, BAI Xuendong, et al. X-ray photoelectron spectroscopy studies of ITO thin films[J]. *Journal of Inorganic Materials*, 2000, 15(1): 191-194.
- [16] Honda S, Watamori M, Oura K. The effect of oxygen content on electrical and optical properties of indium tin oxide films fabricated by reactive sputtering [J]. *Thin Solid Films*, 1996, 218-282: 206-208.
- [17] Bellingham J R, Mackenzie A P, Phillips W A. Precise measurements of oxygen content: Oxygen vacancies in transparent conducting indium oxide films[J]. *Appl Phys Lett*, 1991, 58(22): 2506.

(编辑 龙怀中)